

**Улучшенная  
аппроксимирующая модель  
петли гистерезиса для  
линеаризации пьезосканера  
зондового микроскопа**

Р. В. Лапшин, эл. почта: rlapshin@gmail.com

*НИИ Физических проблем им. Ф. В. Лукина, г. Зеленоград  
Московский институт электронной техники, г. Зеленоград*

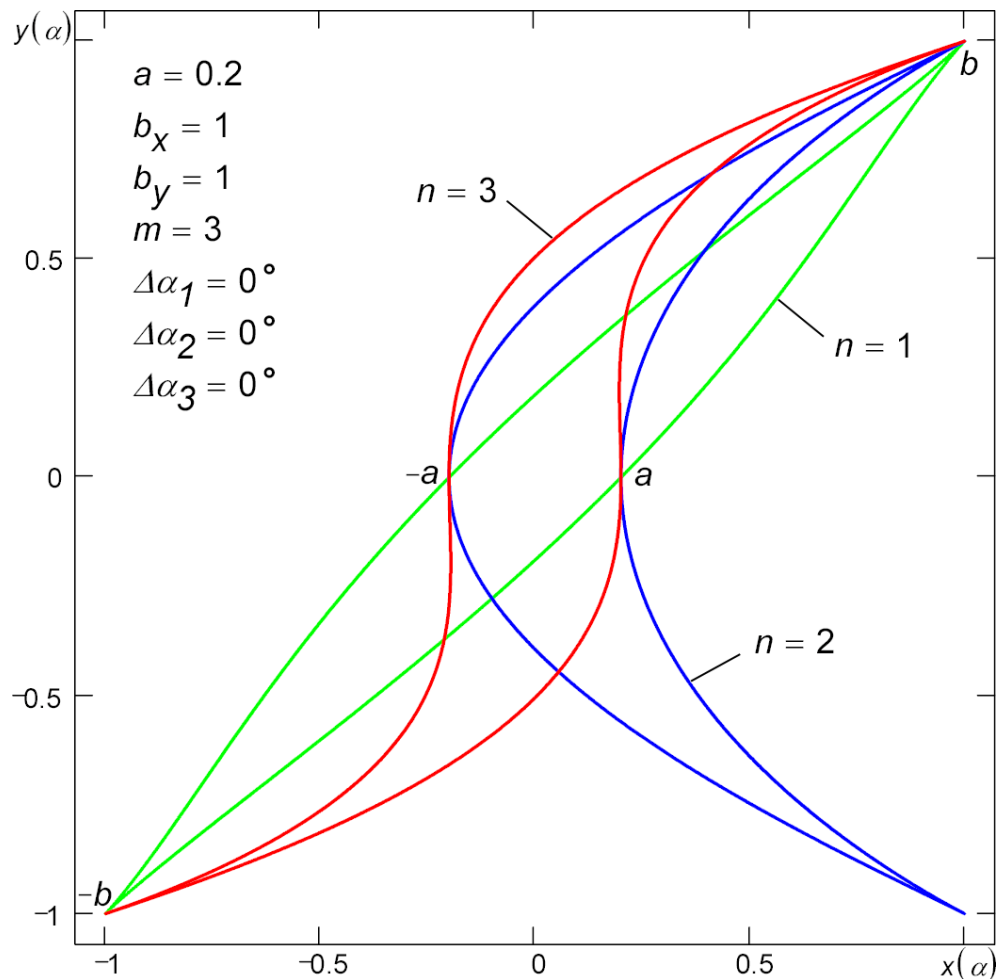
# Краткое описание работы

Предложенная модель охватывает большую часть известных типов симметричных петель гистерезиса, с её помощью можно строить гладкие, кусочно-линейные, гибридные, зеркально-отражённые, обратные и двойные петли. Улучшение достигнуто введением в существующую модель фазовых сдвигов  $\Delta\alpha_1$ ,  $\Delta\alpha_2$ ,  $\Delta\alpha_3$ . Фазовый сдвиг  $\Delta\alpha_1$  позволяет изменить наклон петли в точке расщепления. Фазовые сдвиги  $\Delta\alpha_2$ ,  $\Delta\alpha_3$  дают возможность плавно изменять кривизну петли. Модель проста, интуитивно понятна, позволяет быстро создавать петли гистерезиса требуемого типа и легко определять параметры этих петель. Относительная погрешность аппроксимации петли гистерезиса составляет около 1%.

# Параметрическое уравнение семейства петель гистерезиса

$$x(\alpha) = a \cos^m \alpha + b_x \sin^n \alpha,$$
$$y(\alpha) = b_y \sin \alpha,$$

где  $\alpha$  – параметр ( $\alpha=0\dots2\pi$ );  $a$  –  $x$ -координата точки расщепления;  $b_x, b_y$  – координаты точки насыщения;  $m$  – целое нечётное число, определяющее кривизну петли ( $m=1, 3, 5, \dots$ );  $n$  – целое число, определяющее тип петли (при  $n=1$  возникает петля типа “Лист”, при  $n=2$  – “Месяц”, при  $n=3$  – “Классическая”)

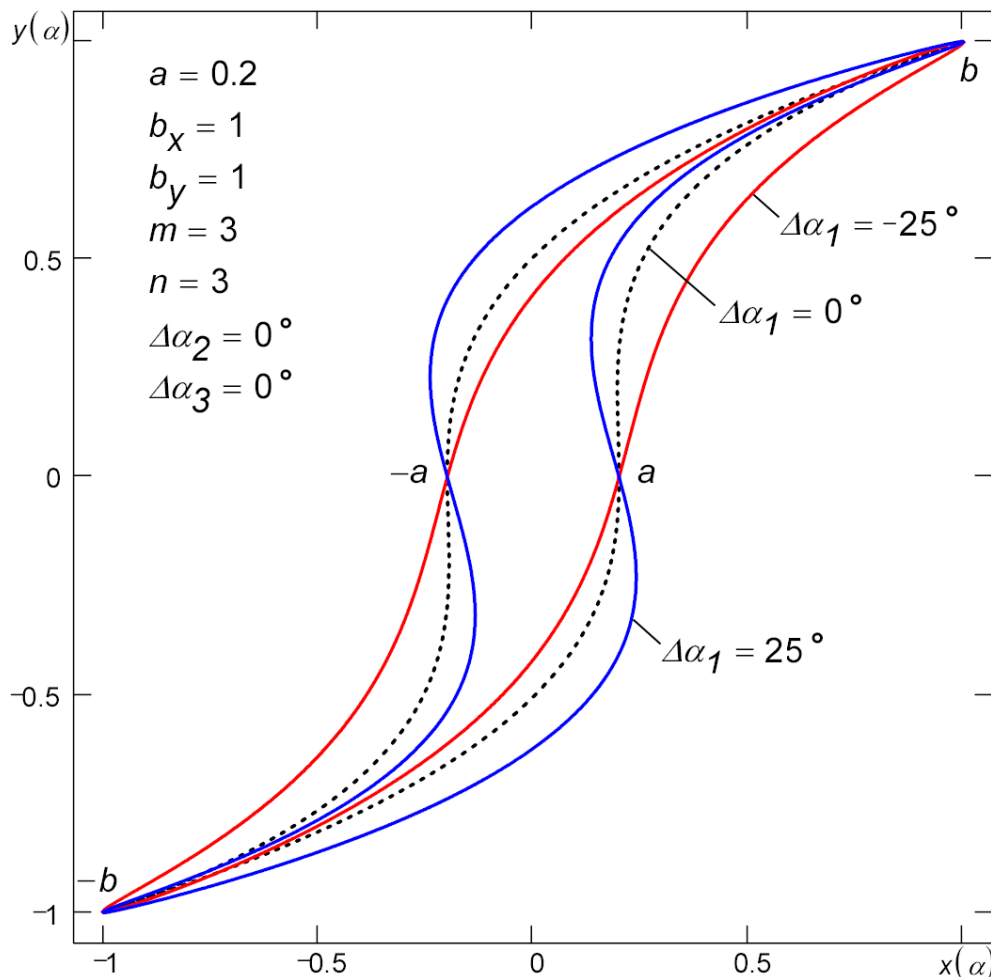


# Введение фазовых сдвигов $\Delta\alpha_1, \Delta\alpha_2, \Delta\alpha_3$

$$x(\alpha) = a^c \cos^m(\alpha + \Delta\alpha_1) + b_x^c \sin^n(\alpha + \Delta\alpha_2),$$

$$y(\alpha) = b_y \sin(\alpha + \Delta\alpha_3),$$

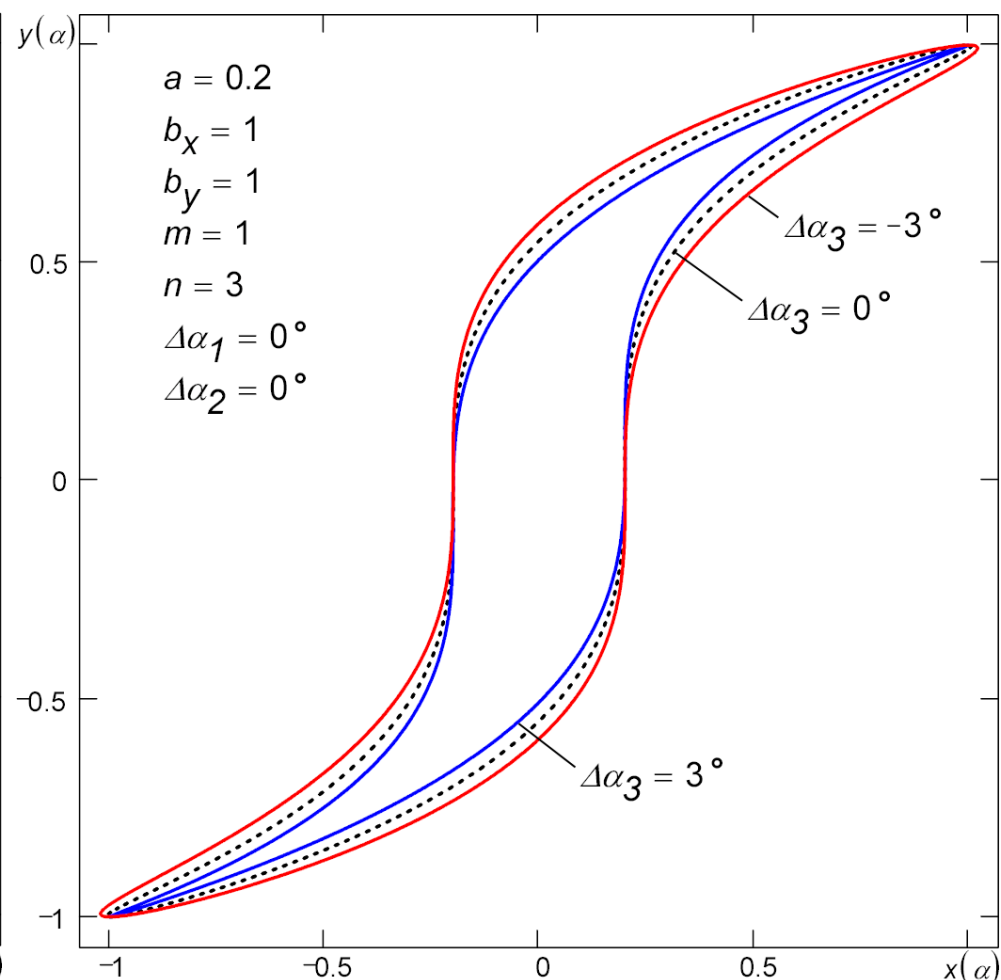
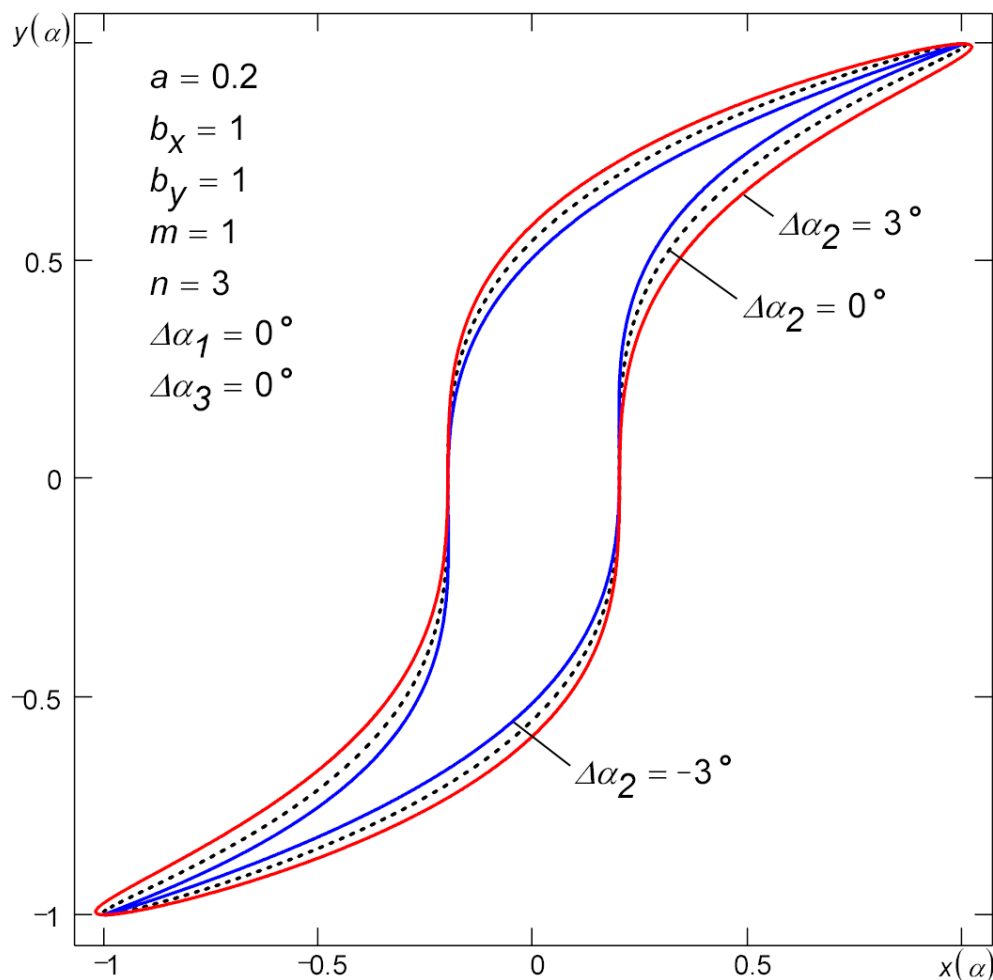
где  $a^c, b_x^c$  – скорректированные параметры  $a, b_x$



Фазовый сдвиг  $\Delta\alpha_1$  позволяет наклонять петлю гистерезиса в точке расщепления  $a$

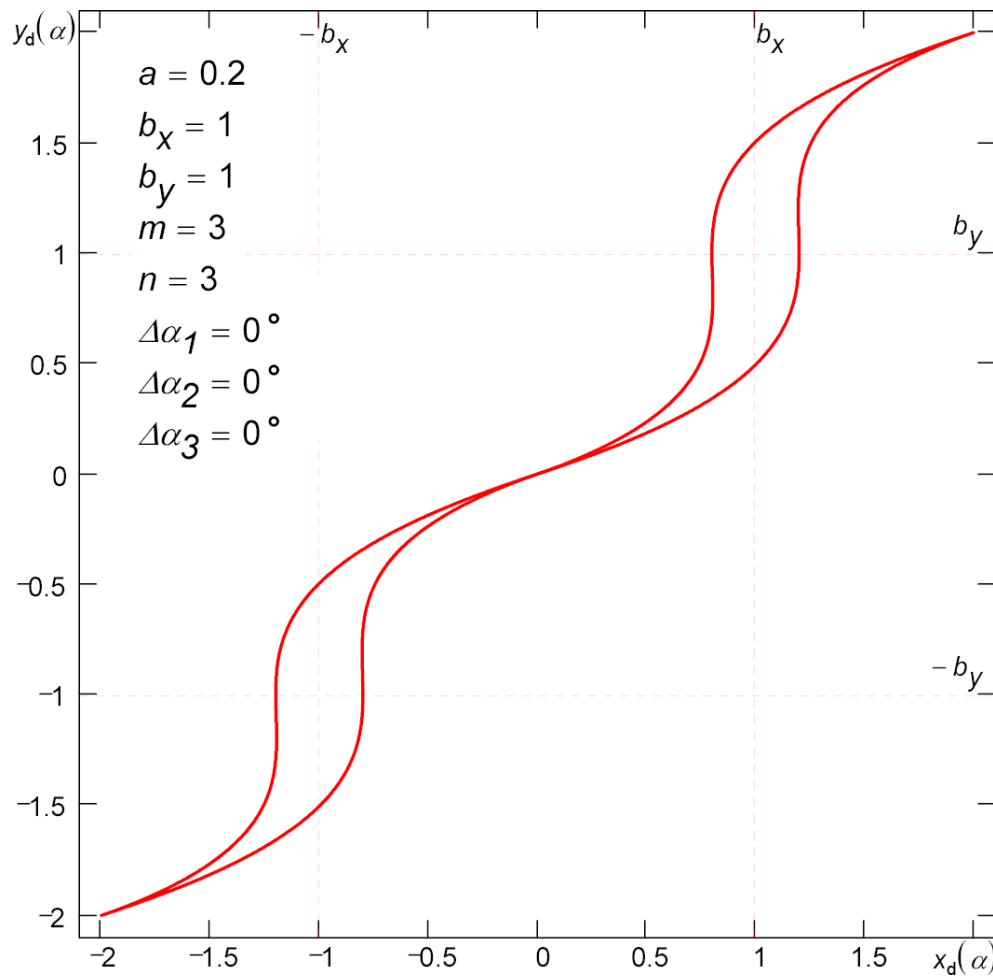
# Действие фазовых сдвигов $\Delta\alpha_2, \Delta\alpha_3$

Фазовые сдвиги  $\Delta\alpha_2$  и  $\Delta\alpha_3$  обеспечивают плавное изменение кривизны петли



# Дополнительные возможности модели

## Двойные петли



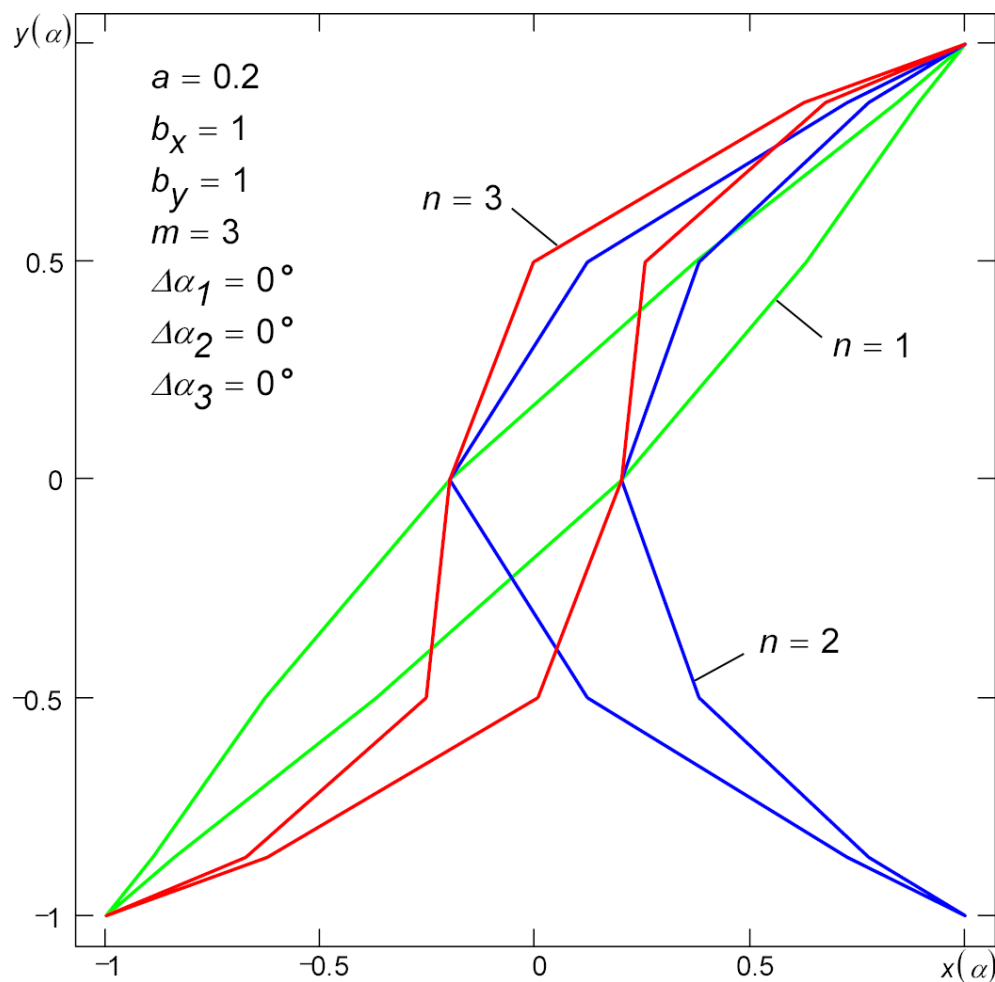
$$x_d(\alpha) = x \left[ 2\alpha - (-1)^{\text{rnd}\left(\frac{\alpha}{2\pi}\right)} \frac{\pi}{2} \right] + (-1)^{\text{rnd}\left(\frac{\alpha}{2\pi}\right)} b_x,$$
$$y_d(\alpha) = y \left[ 2\alpha - (-1)^{\text{rnd}\left(\frac{\alpha}{2\pi}\right)} \frac{\pi}{2} \right] + (-1)^{\text{rnd}\left(\frac{\alpha}{2\pi}\right)} b_y,$$

где  $\text{rnd}()$  – функция округления до ближайшего целого

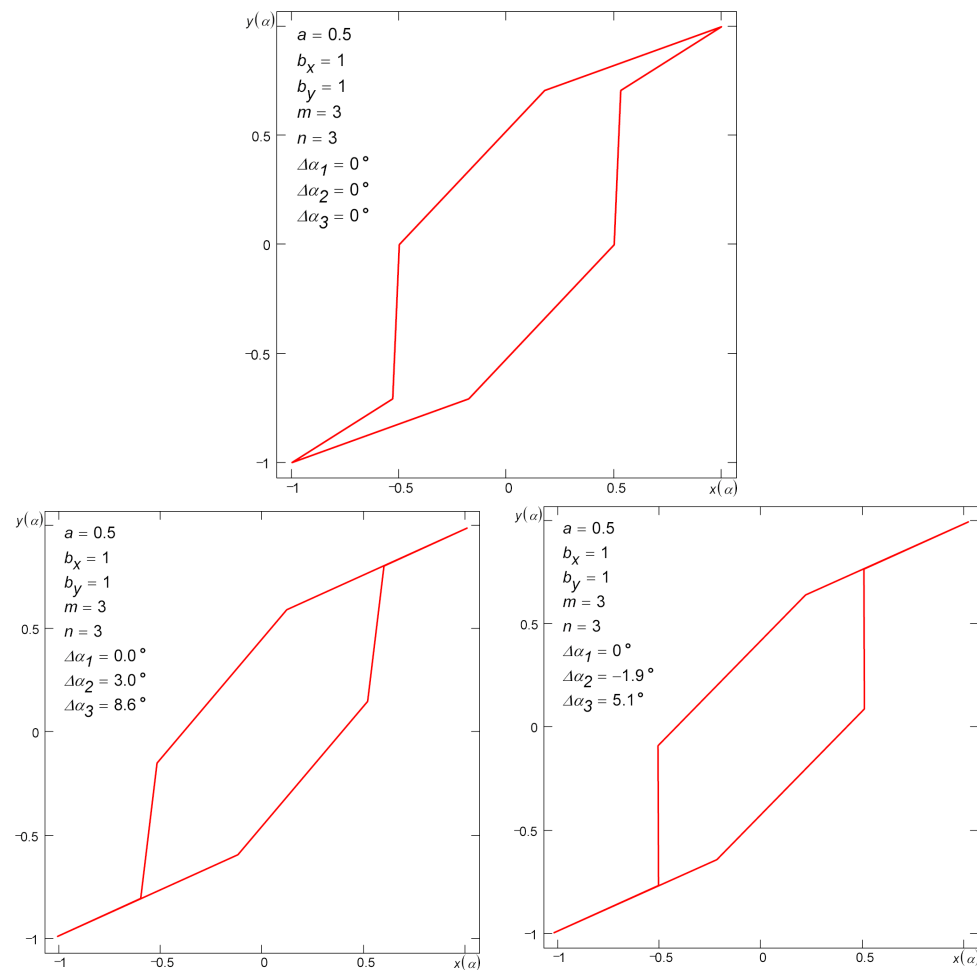
# Кусочно-линейные петли

Параметр  $\alpha$  пробегает значения от 0 до  $2\pi$  с шагом  $2\pi/k$ , где  $k$  – целое чётное число ( $k \geq 4$ )

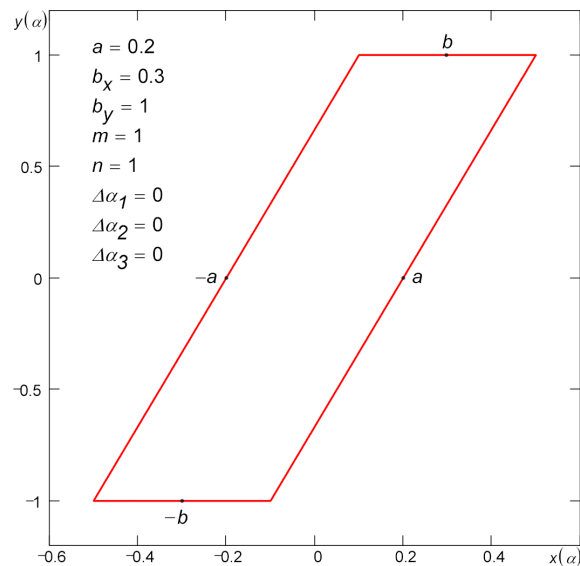
$k=12$



$k=8$



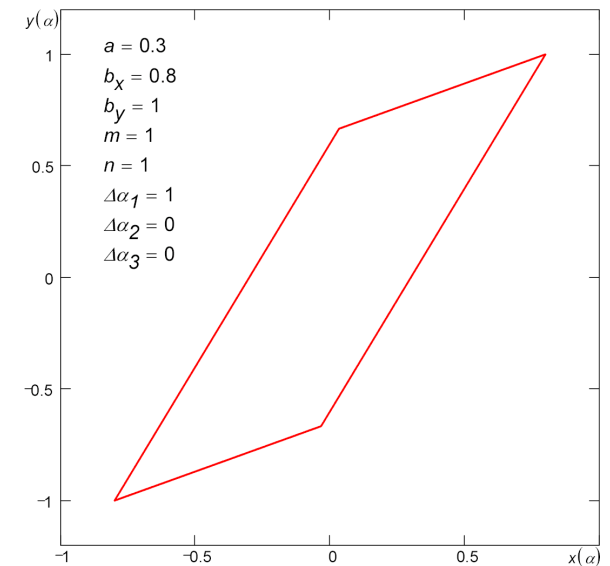
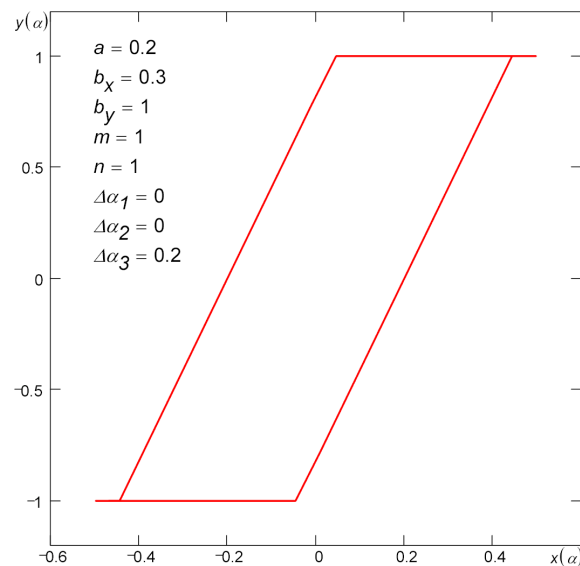
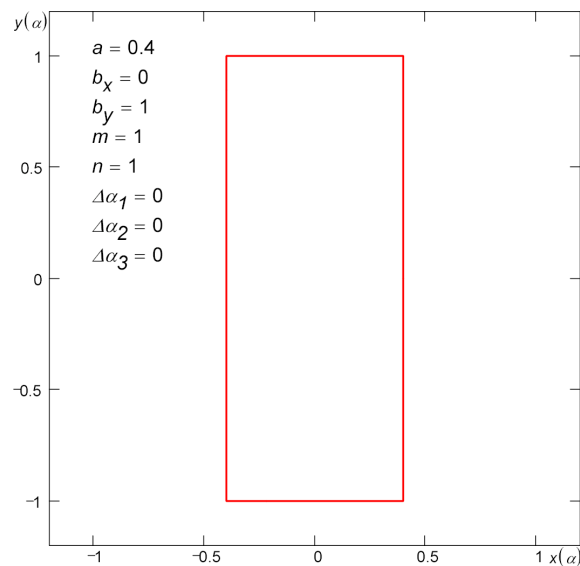
# Кусочно-линейные петли на трапецеидальных импульсах



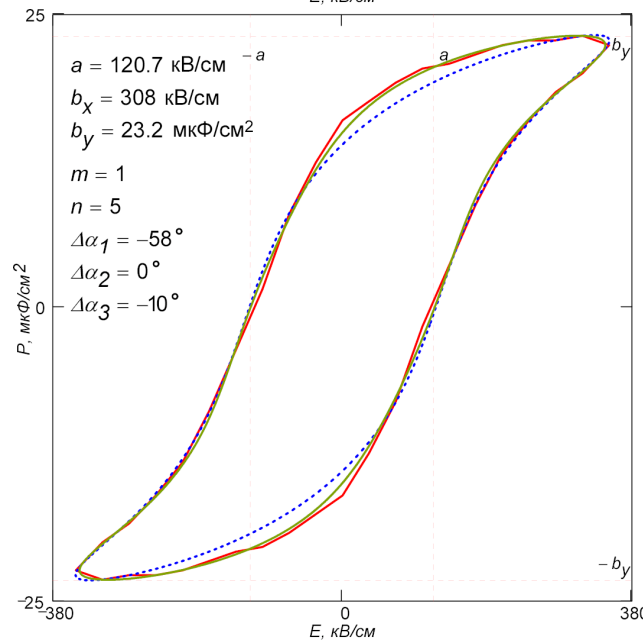
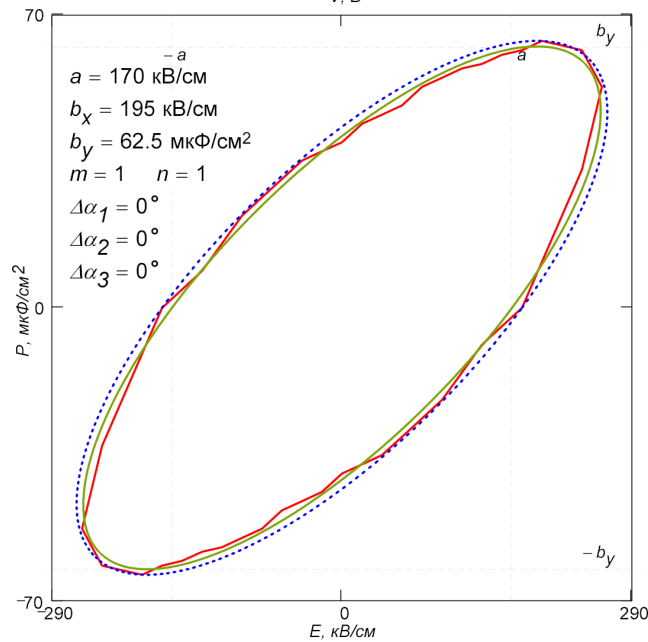
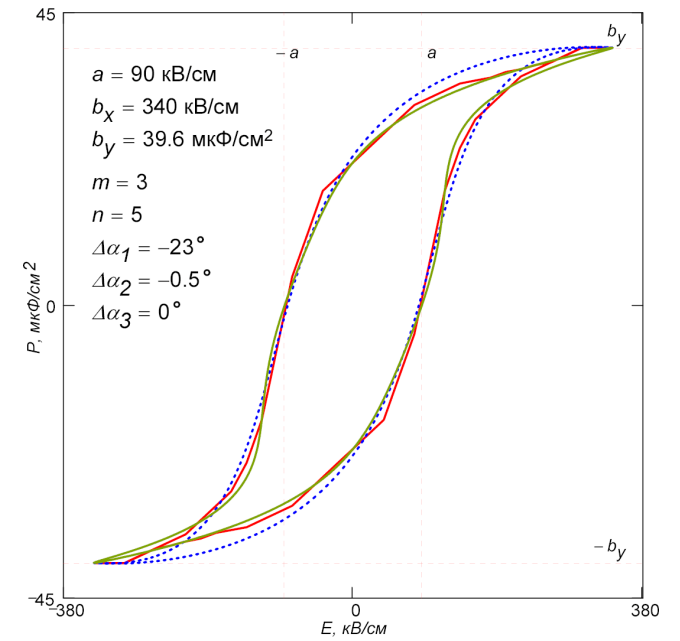
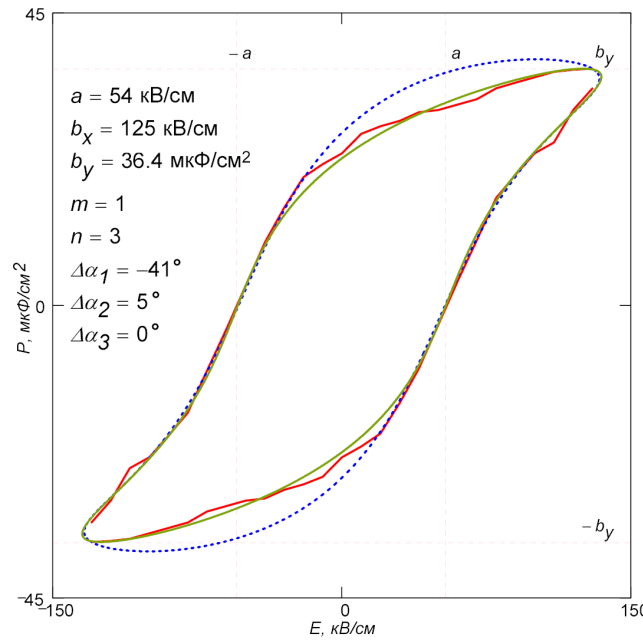
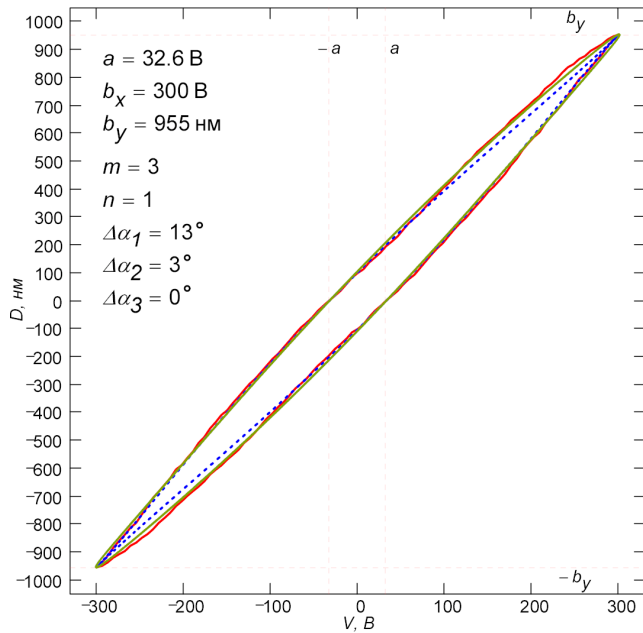
$$x(\alpha) = a^c \text{trp}_c^m(\alpha + \Delta\alpha_1) + b_x^c \text{trp}_s^n(\alpha + \Delta\alpha_2),$$

$$y(\alpha) = b_y \text{trp}_s(\alpha + \Delta\alpha_3),$$

где  $\text{trp}$  – трапецеидальные импульсы  
 $(\text{trp}_c(\alpha) = \text{trp}_s(\alpha + T/4), T$  – период)



# Примеры аппроксимации реальных петель



- эксперимент
- ⋯ существующая модель
- улучшенная модель

# Области применения

- Линеаризация пьезокерамических сканеров и манипуляторов
- Линеаризация магнитных и магнитострикционных сканеров и манипуляторов
- Имитационное моделирование приборов, включающих в себя звенья с гистерезисом

# Литература

1. R. V. Lapshin, Analytical model for the approximation of hysteresis loop and its application to the scanning tunneling microscope, *Review of Scientific Instruments*, vol. 66, no. 9, pp. 4718-4730, 1995 ([www.niifp.ru/staff/lapshin/#articles](http://www.niifp.ru/staff/lapshin/#articles))
2. Дополнительные материалы: Р. В. Лапшин, Петля гистерезиса, Рабочий лист Маткада, 2015 ([www.niifp.ru/staff/lapshin/#downloads](http://www.niifp.ru/staff/lapshin/#downloads))
3. S. A. Agafonov, V. A. Matveev, Dynamics of a balanced rotor under the action of an elastic force with a hysteresis characteristic, *Mechanics of Solids*, vol. 47, no. 2, pp. 160-166, 2012

# Приложение

Формулы для вычисления скорректированных параметров

$$a^c = \frac{a \cos^n(\Delta\alpha_2 - \Delta\alpha_3) - b_x \sin^n(\Delta\alpha_2 - \Delta\alpha_3)}{\sin^m(\Delta\alpha_1 - \Delta\alpha_3) \sin^n(\Delta\alpha_2 - \Delta\alpha_3) + \cos^m(\Delta\alpha_1 - \Delta\alpha_3) \cos^n(\Delta\alpha_2 - \Delta\alpha_3)},$$
$$b_x^c = \frac{a \sin^m(\Delta\alpha_1 - \Delta\alpha_3) + b_x \cos^m(\Delta\alpha_1 - \Delta\alpha_3)}{\sin^m(\Delta\alpha_1 - \Delta\alpha_3) \sin^n(\Delta\alpha_2 - \Delta\alpha_3) + \cos^m(\Delta\alpha_1 - \Delta\alpha_3) \cos^n(\Delta\alpha_2 - \Delta\alpha_3)}.$$